

공간벡터 전류제어 기법을 이용한 벡터 제어형 인버터의 dead time 보상

홍기필, **오원석, *김영태, *김희준
*한양대학교 전기공학과 **유한전문대학 전기공학과

Dead Time Compensation of Vector Controlled Inverter Using Space Vector Modulation Method

Hong Ki Phil, **Oh Won Seok, *Kim Young Tae, *Kim Hee Jun

*Dept. of Electrical Engineering Hanyang University

**Dept. of Electrical Engineering Yuhan Junior College

Abstract

The switching dead time avoiding a bridge leg short circuit in PWM voltage source inverter produces distortions of the controlling inverter output performance such as current waveform, voltage vector, and torque. In this paper, the influence of dead time is investigated. The on-line space voltage vector modulation method is used for current controller. It is possible to compensate dead time by space voltage vector modulation which generates additional pulse compensating voltage distortion caused by dead time. In addition, narrow pulse which is generally neglected can be compensated. All the algorithms, including field-oriented control are performed by one chip microprocessor 80C196MC and DSP TMS320C31. Experimental results prove that the proposed scheme provides a good inverter output performance.

2. dead time과 인버터의 해석

dead time과 인버터의 해석을 위해 인버터 1상을 그림 2.1에 나타내었다. dead time동안에는 인버터의 상단과 하단의 스위치 소자가 모두 오프상태가 되므로 인버터 암의 출력 단자 전압은 출력 단자를 흐르는 전류의 방향에 의해 서만 결정된다. 전류의 방향이 부하쪽으로 흘러가는 정방향일 경우 즉, $i_a > 0$ 일 때는 역방향 다이오드 D4가 도통되며 출력전압은 스위치 S1의 구동펄스인 G1에 의해 결정되며, 반대로 $i_a < 0$ 일 때는 다이오드 D1이 도통되고 스위치 S4의 구동펄스인 G4에 의해 출력전압이 결정된다.

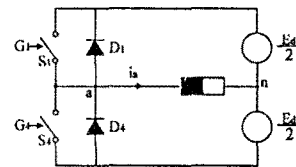


그림 2.1 인버터 1상

1. 서론

PWM 전압형 인버터는 가변속 제어가 용이하고 고성능 제어 등의 장점 때문에 산업계에 널리 사용되고 있다. 인버터를 이용한 이러한 유도전동기의 고성능 제어에 있어 토크 리플 그리고 전압, 전류 파형 왜곡 등이 문제로 대두된다. 이 문제점의 주된 원인은 인버터의 dead time, 직류링크 전압의 불안정, 그리고 스위칭 소자와 역방향 다이오드의 전압강하 등이다. 특히 이중에 큰 영향을 미치는 dead time에 대한 연구가 활발히 진행되고 있다[1]-[6]. 이상적인 스위칭 소자라면 문제가 없으나 실제로는 스위칭 동작시간을 가지므로 이 시간간의 전압형 인버터의 직류링크 단락을 방지하기 위해 스위칭 순간에 턴-오프 시간보다 긴 dead time을 두어 사용하는 것이 일반적이다. 스위칭 dead time은 인버터의 출력 전압파형의 기본파 전압의 크기를 감소시키며 파형을 왜곡시키고 저차 고조파를 발생하여 유도전동기의 구동특성에 악영향을 미치며, 저속인 경우 그 영향이 심하게 나타난다. dead time의 영향을 없애는 방법으로는 인버터의 출력전압을 깜빡하여 보상하는 방법[1], 빈조파에 출력 전류 방향에 따른 보상신호를 더하여 PWM 빈조파형을 구동시키는 방법[2], 3상 중 전류 방향이 다른 한 상만의 보정으로 dead time을 보상하는 방법[3] 등이 연구되었다. 그러나 대부분의 연구는 복잡한 하드웨어 장치를 필요로 하며, dead time보다 작은 미소 구동 필스를 고려하지 않고 있다.

본 논문에서는 벡터제어 인버터에 사용되는 전류제어 기법 중 공간벡터 전류제어 기법을 이용한 전압형 인버터의 구동에 있어서 dead time의 영향을 분석하고, 미소필스까지 고려한 공간벡터 빈조에 의한 보상방법을 제안하였으며, 제안된 보상 알고리즘을 주가적인 하드웨어 장치로 필요 없이 소프트웨어만으로 처리하였다. 보상을 위한 실험에는 원점 마이크로프로세서인 80C196MC와 DSP 320C31을 사용하였다.

그림 2.2는 인버터의 스위칭파형을 나타낸다. 그림에서 알 수 있듯이 상전류가 정방향일 때는 출력전압은 $T_d+T_{on}-T_{off}$ 시간 만큼 필스폭이 줄어들기 때문에 이 필스폭 만큼 기준전압보다 낮은 값을 갖게 된다.[6]

$$T_{aon} = T_{ref} - ((T_d + T_{on}) - T_{off}) \quad (2-1)$$

반대로 상전류가 역방향일 때는 $T_d+T_{on}-T_{off}$ 시간 만큼 필스폭이 넓게 나타나므로 그 만큼 출력전압이 증가하게 된다.

$$T_{aoff} = T_{ref} + ((T_d + T_{on}) - T_{off}) \quad (2-2)$$

여기서, T_{ref} 은 출력전압의 기준시간

T_{aon} 은 출력전압의 구동시간

T_{on}, T_{off} 은 스위칭 소자의 턴온, 턴오프 시간

T_d 은 스위칭 시간을 고려한 dead time

3상에 대해 정리하면

$$T_{pon} = T_{pref} - sgn(ip) T_e \quad (2-3)$$

여기서, $p=a, b, c$ $T_e=(T_d+T_{on}) - T_{off}$

$$sgn(ip) = \begin{cases} 1 & \text{for } ip > 0 \\ -1 & \text{for } ip < 0 \end{cases}$$

3상의 출력전압의 구동시간이 식(2-3)과 같고 샘플링 시간이 T_s 일 때 평균 상전압 (\bar{U}_{pn})은 다음 식으로 정의될 수 있다.

$$\bar{U}_{pn} = Ed \left(\frac{T_{pon}}{T_s} - \frac{1}{2} \right), \quad p = a, b, c \quad (2-4)$$

그러므로 기준전압과 실제의 인버터 출력전압 사이에는 스위칭 소자의 스위칭 시간과 설정된 dead time만큼 해당하는 오차전압이 발생되며 전동기 전류가 왜곡되는 원인이 된다.

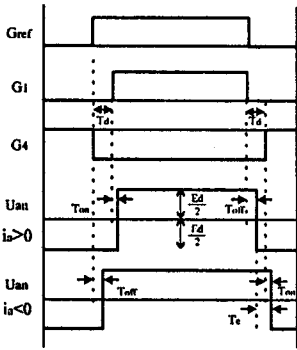


그림 2.2 인버터의 스위칭 파형

3. 공간벡터 전류 제어기

인버터에서 사용 가능한 출력전압의 공간벡터 N_k 는 8개이며, 식 (3-1)과 같이 나타낼 수 있다.

$$V_k(G_a, G_b, G_c) = \begin{cases} \frac{2}{3} E_d e^{j(k\pi/3)} & \text{for } k=1, 2, \dots, 6 \\ 0 & \text{for } k=0, 7 \end{cases} \quad (3-1)$$

인버터에서 스위칭 주파수가 충분히 높다고 할 때 기준전압 벡터 V_s 는 스위칭 한 주기동안 일정하다고 가정할 수 있다. 이 벡터 V_s 는 PI 속도제어기로 부터 얻어지며, 공간벡터 전류제어기에서 이 기준전압 벡터에 해당하는 인버터 출력전압을 얻기 위해 기준벡터에 인접한 2개의 유효벡터와 영벡터 즉 3개의 스위칭 상태를 이용한다.

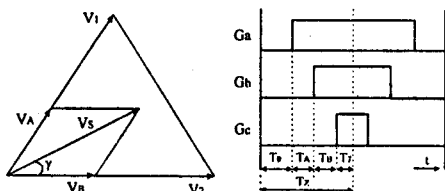


그림 3.1 공간벡터 변조법

그림 3.1은 공간벡터 변조법의 벡터도와 파형을 나타낸다. 원하는 기준전압 벡터 V_s 와 한 공간벡터 변조 사이클 동안의 인버터 출력전압 벡터와의 관계에 의해 다음과 같은 식을 얻을 수 있다.

$$V_s T_Z = V_0 T_0 + V_A T_A + V_B T_B + V_7 T_7 \quad (3-2)$$

여기서, $T_Z = T_0 + T_A + T_B + T_7$. T_0, T_7, T_A 와 T_B 는 출력전압벡터들의 스위칭 시간이다. 벡터 V_A 와 V_B 는 기준벡터 V_s 에 인접한 2개의 인버터 출력벡터이며, 만약 이 식에서 공간벡터들을 직교 좌표상에 나타내면 식(3-3)-(3-7)과 같다.

$$T_Z \frac{2}{3} E_d \alpha \begin{bmatrix} \cos \gamma \\ \sin \gamma \end{bmatrix} = T_A \frac{2}{3} E_d \begin{bmatrix} 1 \\ 0 \end{bmatrix} + T_B \frac{2}{3} E_d \begin{bmatrix} \cos 60^\circ \\ \sin 60^\circ \end{bmatrix} \quad (3-3)$$

$$\alpha = \frac{|V_s|}{\frac{2}{3} E_d} \quad (3-4)$$

그러므로,

$$T_A = T_Z \alpha \frac{\sin(60^\circ - \gamma)}{\sin 60^\circ} \quad (3-5)$$

$$T_B = T_Z \alpha \frac{\sin \gamma}{\sin 60^\circ} \quad (3-6)$$

$$T_0 + T_7 = T_Z - (T_A + T_B) \quad (3-7)$$

이와같은 공간벡터 변조기법에서의 전형적인 공간벡터 구동필스 패턴을 그림 3.1(b)에 나타내었다.

4. dead time영향에 의한 인버터의 해석

dead time에 대한 인버터의 해석은 2가지의 모드로 나누어 볼수 있다. 즉, 스위치의 구동필스가 dead time보다 더 작은 미소필스가 없는 경우(모드1)와 미소필스가 있는 경우(모드2)이다. 이 두가지의 모드에 대해 출력전압의 폭넓을 알아본다.

3상 인버터의 전류벡터 합은 0이 되어야 하므로 전류방향이 같은 두상과 다른 한상이 존재하게 된다. 그럼 4.1은 $i_a, i_b > 0$ 이고 $i_c < 0$ 인 경우의 3상 인버터의 구조와 각상의 공간전압 벡터 파형이다.

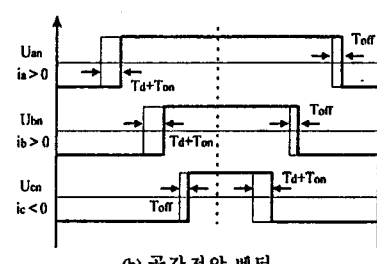
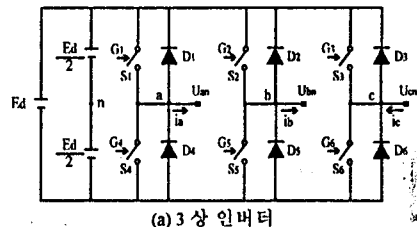


그림 4.1 3상 인버터 구조와 공간전압 벡터

가는 실선은 기준전압 벡터이고 두꺼운 실선은 dead time의 영향을 고려한 실제 전압 벡터이다. 이 경우에 있어서 모드1과 모드2 대해 해석하면,

1) 모드 1의 경우

출력전압의 구동시간은 식(2-1)으로부터 식(4-1)과 같이 정의 할 수 있다.

$$\begin{aligned} T_{aon} &= T_{aref} - T_e \\ T_{bon} &= T_{breff} - T_e \\ T_{con} &= T_{creff} + T_e \end{aligned} \quad (4-1)$$

평균 상전압은 식(4-2)과 같다.

$$\begin{aligned}\bar{U}_{an} &= Ed \left(\frac{T_{a\text{ref}} - T_e}{T_s} - \frac{1}{2} \right) \\ \bar{U}_{bn} &= Ed \left(\frac{T_{b\text{ref}} - T_e}{T_s} - \frac{1}{2} \right) \\ \bar{U}_{cn} &= Ed \left(\frac{T_{c\text{ref}} + T_e}{T_s} - \frac{1}{2} \right)\end{aligned}\quad (4-2)$$

그러므로, 선간전압은

$$\begin{aligned}\bar{U}_{ab} &= Ed \left(\frac{T_{a\text{ref}} - T_{b\text{ref}}}{T_s} \right) \\ \bar{U}_{bc} &= Ed \left(\frac{T_{b\text{ref}} - T_{c\text{ref}} - 2T_e}{T_s} \right) \\ \bar{U}_{ca} &= Ed \left(\frac{T_{c\text{ref}} - T_{a\text{ref}} + 2T_e}{T_s} \right)\end{aligned}\quad (4-3)$$

위의 식을 다시 정리하면,

$$\begin{aligned}\bar{U}_{ab} &= \bar{U}_{a\text{ref}} \\ \bar{U}_{bc} &= \bar{U}_{b\text{ref}} - \bar{U}_e \\ \bar{U}_{ca} &= \bar{U}_{c\text{ref}} + \bar{U}_e\end{aligned}\quad (4-4)$$

여기서,

$$\bar{U}_e = Ed \left(\frac{2T_e}{T_s} \right) \quad (4-5)$$

$\bar{U}_{a\text{ref}}$, $\bar{U}_{b\text{ref}}$, $\bar{U}_{c\text{ref}}$ 는 평균 기준선간전압

실제 선간전압과 기준 선간전압은 전류방향이 같은 a상과 b상에는 아무런 오차가 발생하지 않음을 알 수 있으며, 전류방향이 다른 한상과의 선간전압은 U_e 만큼의 오차가 발생함을 알 수 있다.

2) 모드 2의 경우

전류의 방향이 모드 1에서와 같고 dead time보다 작은 미소펄스가 a상일 경우 출력전압의 구동시간은 식(4-6)과 같다.

$$\begin{aligned}T_{a\text{on}} &= 0 \\ T_{b\text{on}} &= T_{b\text{ref}} - T_e \\ T_{c\text{on}} &= T_{c\text{ref}} + T_e\end{aligned}\quad (4-6)$$

평균 상전압은 식(4-7)과 같다

$$\begin{aligned}\bar{U}_{an} &= -\frac{Ed}{2} \\ \bar{U}_{bn} &= Ed \left(\frac{T_{b\text{ref}} - T_e}{T_s} - \frac{1}{2} \right) \\ \bar{U}_{cn} &= Ed \left(\frac{T_{c\text{ref}} + T_e}{T_s} - \frac{1}{2} \right)\end{aligned}\quad (4-7)$$

그러므로, 평균 선간전압은

$$\begin{aligned}\bar{U}_{ab} &= Ed \left(\frac{-T_{b\text{ref}} + T_e}{T_s} \right) \\ \bar{U}_{bc} &= Ed \left(\frac{T_{b\text{ref}} - T_{c\text{ref}} - 2T_e}{T_s} \right) \\ \bar{U}_{ca} &= Ed \left(\frac{T_{c\text{ref}} + T_e}{T_s} \right)\end{aligned}\quad (4-8)$$

위의 식을 다시 정리하면,

$$\begin{aligned}\bar{U}_{ab} &= \bar{U}_{a\text{ref}} - Ed \frac{T_{a\text{ref}} - T_e}{T_s} \\ \bar{U}_{bc} &= \bar{U}_{b\text{ref}} - U_e \\ \bar{U}_{ca} &= \bar{U}_{c\text{ref}} + Ed \frac{T_{c\text{ref}} + T_e}{T_s}\end{aligned}\quad (4-9)$$

여기서, $\bar{U}_{a\text{ref}}$, $\bar{U}_{b\text{ref}}$, $\bar{U}_{c\text{ref}}$ 는 평균 기준선간전압

전류방향과 미소펄스가 있는 상이 다른 경우에 대해서도 동일한 해석을 하면,

a) $ia, ib < 0, ic > 0$ 이고 미소펄스가 a상일 경우

$$\begin{aligned}\bar{U}_{ab} &= \bar{U}_{a\text{ref}} - Ed \frac{(T_{a\text{ref}} - T_e)}{T_s} \\ \bar{U}_{bc} &= \bar{U}_{b\text{ref}} + \bar{U}_e \\ \bar{U}_{ca} &= \bar{U}_{c\text{ref}} + Ed \frac{T_{c\text{ref}} - 3T_e}{T_s}\end{aligned}\quad (4-10)$$

b) $ia, ib > 0, ic < 0$ 이고 미소펄스가 c상일 경우

$$\begin{aligned}\bar{U}_{ab} &= \bar{U}_{a\text{ref}} \\ \bar{U}_{bc} &= \bar{U}_{b\text{ref}} + Ed \frac{T_{c\text{ref}} - 3T_e}{T_s} \\ \bar{U}_{ca} &= \bar{U}_{c\text{ref}} - Ed \frac{T_{c\text{ref}} - 3T_e}{T_s}\end{aligned}\quad (4-11)$$

c) $ia, ib < 0, ic > 0$ 이고 미소펄스가 c상일 경우

$$\begin{aligned}\bar{U}_{ab} &= \bar{U}_{a\text{ref}} \\ \bar{U}_{bc} &= \bar{U}_{b\text{ref}} + Ed \frac{T_{c\text{ref}} + T_e}{T_s} \\ \bar{U}_{ca} &= \bar{U}_{c\text{ref}} - Ed \frac{T_{c\text{ref}} + T_e}{T_s}\end{aligned}\quad (4-12)$$

그러므로 각상의 미소펄스에 의해 모드 1에서와는 다른 크기의 전압 오차가 발생함을 알 수 있다.

5. dead time의 영향 보상

dead time의 보상을 위해 공간백터 빈조방식을 이용하여 각 모드에 따라 그 기준 전압백터와 실제 출력전압백터의 차이 만큼을 보상한 공간백터를 내보낸다.

1) 모드 1일 경우 보상

인버터의 상전류의 방향이 $ia, ib > 0$ 이고 $ic < 0$ 인 경우, 출력전압은 기준전압에 대해 $2T_e$ 만큼의 시간에 해당하는 U_e 의 전압의 차이를 보였다. 전류방향이 같은 두상간에는 dead time의 영향이 없음을 알 수 있고 따라서 전류방향이 다른 한상만을 보상하여 dead time에 의한 출력전압의 채굴을 없앨 수 있다. 전류방향이 다른 c상의 기준 구동펄스를 반주기마다 T_e 만큼의 시간을 보상해 주면 된다. 즉

$$T_{ccom} = T_{c\text{ref}} - 2T_e \quad (5-1)$$

여기서, T_{ccom} 은 $T_{c\text{ref}}$ 의 보상된 출력전압의 기준 시간

만약, 전류의 방향이 반대일 경우에는 출력전압의 기준 시간을 다음과 같이 보상해 주면된다.

$$T_{ccom} = T_{c\text{ref}} + 2T_e \quad (5-2)$$

그림 5.1(a)은 보상된 파형을 나타낸다.

2) 모드2일 경우 보상

전류의 방향이 모드1과 같고 미소필스가 *a*상일 경우에 dead time과 *a*상의 무시된 구동필스까지 보상되어야 하므로 모드1에서와 같이 어느 한상의 보상만으로는 부족하다. 이 두 가지 요인의 보상을 위해서 미소필스가 발생하지 않는 나머지 두상을 보상한다. 미소필스가 발생하지 않은 *b*상과 *c*상의 출력전압의 기준시간을 식(5-3)과 같이 보상한다.

$$T_{bcom} = T_{bref} - (T_{aref} - T_e) \quad (5-3)$$

$$T_{ccom} = T_{cref} - (T_{aref} + T_e)$$

그림5.1(b)는 미소필스가 있는 경우의 보상된 파형이다. 그림5.1(b)에서 T_{com} 은 반주기마다 보상되어질 시간이다. 전류방향과 미소필스의 발생이 어느 상이나에 따른 보상은 다음과 같다.

a) $i_a, i_b < 0, i_c > 0$ 이고 미소필스가 *a*상일 경우

$$T_{bcom} = T_{bref} - (T_{aref} - T_e) \quad (5-4)$$

$$T_{ccom} = T_{cref} - (T_{aref} - 3T_e)$$

b) $i_a, i_b > 0, i_c < 0$ 이고 미소필스가 *c*상일 경우

$$T_{acom} = T_{aref} - (T_{cref} - 3T_e) \quad (5-5)$$

$$T_{bcom} = T_{bref} - (T_{cref} - 3T_e)$$

c) $i_a, i_b < 0, i_c > 0$ 이고 미소필스가 *c*상일 경우

$$T_{acom} = T_{aref} - (T_{cref} + T_e) \quad (5-6)$$

$$T_{bcom} = T_{bref} - (T_{cref} + T_e)$$

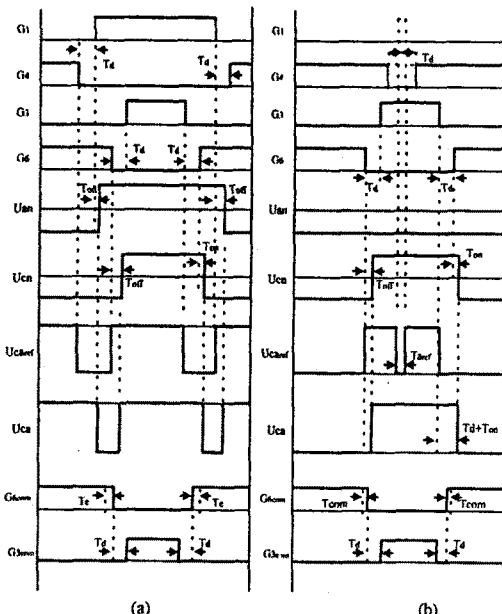


그림5.1 (a)미소필스가 없는 경우의 보상된 파형
(b)미소필스가 있는 경우의 보상된 파형

6. 실험

본 논문에서의 모든 dead time 보상 알고리즘은 원칩 마이크로프로세서인 80C196MC와 DSP TMS320C31을 이용하여 다른 추가적인 하드웨어 장치가 없이 소프트웨어로 수행하였다. 80C196MC는 3상 AC유도전동기와 DC 브러시리스 모터의 제어를 위해 고안된 16-bit 마이크로 컨트롤러이며, 3상 파형 제어레이터를 가지고 있어서 최소의 CPU 간섭으로 필스폭 빈조를 행할 수 있다. 인버터의 스위칭 소자로는 IPM(Intelligent Power Module)을 사용하였으며 샘플링 시간은 0.125ms, dead time은 8us이다. TMS320C31은

백터제어루틴을 수행하고 기준공간전압 백터를 출력한다. 그림 6.1은 실험 장치의 블록도이며 그림6.2는 (a)dead time 보상이 없는 경우, (b)미소필스를 무시하고 보상한 경우와 (c)미소필스까지 고려하고 보상한 경우의 상전류 파형이다. 그림6.3은 각각의 경우에 대한 스펙트럼 분석이다. 모든 실험은 15Hz에서 동작한다. 그림에서 알 수 있듯이 dead time의 보상으로 인해 폐곡면되었던 파형이 적절히 보상됨을 알 수 있다. 또한 고조파성분의 감소와 기본파 성분이 뚜렷하게 증가함을 알 수 있다.

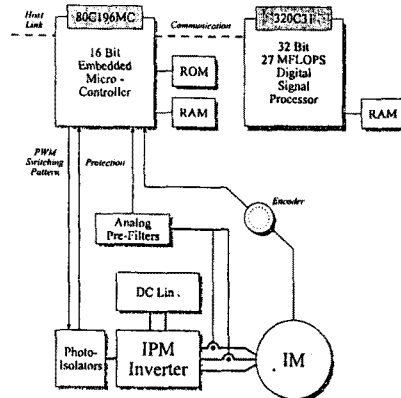
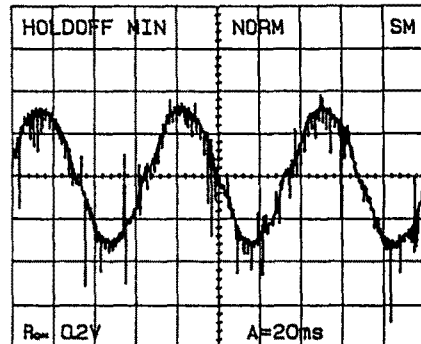
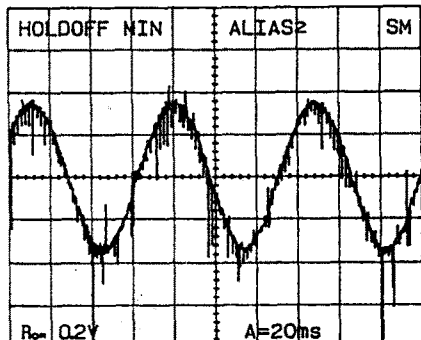


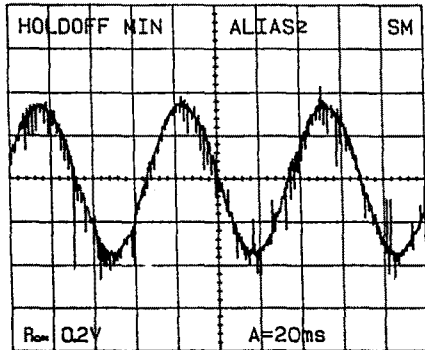
그림6.1 실험 장치 블록도



(a) dead time 보상이 없는 경우

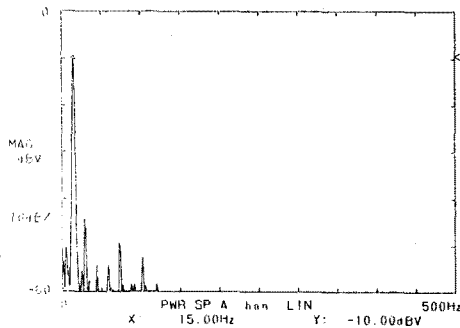


(b)미소필스를 무시하고 보상한 경우



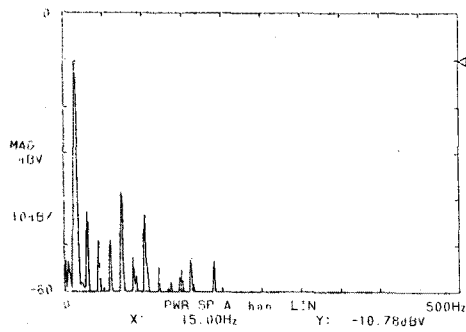
(c) 미소펄스를 고려하고 보상한 경우

그림6.2 상전류 파형

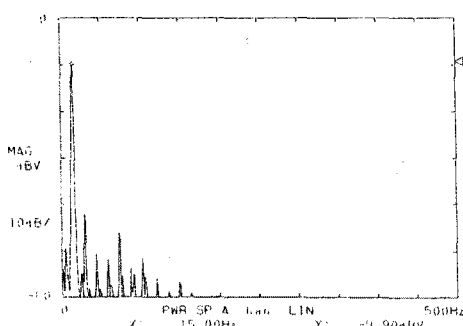


(c) 미소펄스를 고려하고 보상한 경우

그림6.3 스펙트럼 분석



(a) dead time 보상이 없는 경우



(b) 미소펄스를 무시하고 보상한 경우

7. 결론

유도전동기의 고성능 운전에 대한 요구로 인해 전류루프의 빠른 응답과 전류 고조파 성분의 감소가 요구되고 있다. **dead time**은 인버터 출력전압의 크기를 감소시키고 고조파 성분을 증가시키는 원인이 된다. 본 연구에서는 전류루프의 속응답을 가능하게 하는 공간비터 빈조방식에 의한 **dead time** 보상법을 제시하였다. 제안된 방법은 온라인으로 동작하며, 새로운 전압벡터에 대한 정보를 매 샘플링 시간마다 계산하여 빠른 전류루프 응답과 고조파 성분의 감소를 가능하게 한다. 모든 보상 알고리즘을 소프트웨어로 처리하여 부가적인 하드웨어 장치가 필요 없고, **dead time**보다 작은 미소펄스까지 보상이 가능하여 **dead time**에 의한 인버터의 비선형동작을 적절히 보상할 수 있었다.

참고문헌

- [1] Yoshihiro Murai et.al., "Waveform Distortion and Correction Circuit for PWM Inverter with Switching Lag Times," IEEE Trans. Ind. Appl., Vol.1A-23, No.5, pp881-886, 1987.
- [2] Takashi Sukegawa et.al., "Fully Digital Vector Controlled PWM VSI Fed AC Drives with an Inverter Dead Time Compensation Strategy," IEEE Trans. Ind. Appl., Vol.27, No.3, pp552-559, 1991.
- [3] Y.T.Chung et. al., "The Waveform Compensation Of Dead Time in PWM Inverters," J.KIEE, Vol.42, No.5, pp29-35, 1993.
- [4] H.W. Van der Broeck, et.al., "Analysis and Realization of a Pulse Width Modulator Based on Voltage Space Vectors," IAS86, pp244-251, 1986.
- [5] K. Heumann et.al., "Design Criteria for Fast Switching PWM Inverters," PESC'88, pp271-276, 1988.
- [6] John K. Pedersen et.al., "An Ideal PWM-VSI Inverter with Feedforward and Feedback Compensation," EPE93, pp501-507, 1993.